

ICOT Technical Report: TR-543

TR-543

ATMSを用いた前向き仮説推論 システムにおける効率的な推論方式

太田好彦・井上克巳

April, 1990

©1990, ICOT

ICOT

Mita Kokusai Bldg. 21F
4-28 Mita 1-Chome
Minato-ku Tokyo 108 Japan

(03) 456-3191~5
Telex ICOT J32964

Institute for New Generation Computer Technology

1. まえがき

仮説推論は、常に正しいかどうかわからない知識の集合を仮説集合とし、この中から常に正しい知識の集合と矛盾しない部分集合を加えて結論を導く推論形態であり、不完全な知識ベースに基づく知識システム構築のために重要な要素技術である⁽¹⁾⁽²⁾。しかしながら、導入した仮説集合の無矛盾性チェックを行わなければならないために、推論速度の点で問題がある。

従来、命題論理のホーン節から定義された知識ベースの無矛盾性を効率的に管理する機構として A T M S⁽³⁾が提案されている。この A T M S と問題解決器とを結合して仮説推論システムが実現できる。このように A T M S と問題解決器とを結合した推論システムの例としては、文献(4)が挙げられる。これは A T M S に制約言語の問題解決インターフェースを設けた推論システムである。

本論文では、前向き推論システムと A T M S とを結合した仮説推論システムにおける効率的な推論方式について述べる。このような仮説推論システムで従来提案されている例として、文献(5)や文献(6)が挙げられる。これらでは、A T M S とプロダクション・システムとを結合し、Rete ネットワーク⁽⁷⁾内でパターン・マッチングとラベル計算を融合し仮説推論の高速化を図っている。文献(5)は、独自の仮説ネットワークと調整アルゴリズムとを提案し、問題解決器と無矛盾性管理機構とを完全に融合しているが、課題として、多重コンテキストを扱えるようにすることを挙げている。文献(6)では、その処理方式についての詳細は述べられていない。また、文献(8)や文献(9)のシステムでも、前向き推論アルゴリズムに Rete アルゴリズムを採用し、無矛盾性管理を A T M S によって行っているが、Rete ネットワーク内でラベル計算は行われていない。

本論文で述べる仮説推論方式は、Rete-like ネットワークの 2 入力ノードにおいて中間的なラベル計算を行って保持しておくことにより、仮説推論速度の向上を実現するものである。従来のシステム例と比較した本方法の特徴は、入力知識ベースを Reiter の正規デフォルト理論⁽¹⁰⁾のサブセットに基づいた論理プログラム(一階述語論理ベース)としていること、A T M S

と前向き推論エンジンをモジュール化してそれぞれ別々にも使用できるようにしていること、競合解消を行わず多重コンテキストで推論を行うこと、更に、ラベルの伝播は元々効率的な A T M S にまかせていること等が挙げられる。

また、本仮説推論方式を採用して、仮説推論システム A P R I C O T / 0⁽¹¹⁾ を P S I - I I⁽¹²⁾ マシン、言語 E S P⁽¹³⁾ 上にインプリメントし、その仮説推論時間を実験的に評価し、有効性を示した。

2 章において対象とする知識ベースを定義し、3 章において A T M S の概要を示し、4 章で仮説推論システム A P R I C O T / 0 の構成、5 章で R e i t e - I i k e ネットワーク、6 章で推論方式、7 章で評価についてそれぞれ述べる。

2. 知識ベースの定義

以下で取り扱う知識ベースは、R e i t e r の正規デフォルト理論⁽¹⁰⁾ のサブセットに基づいた論理プログラムであり、次に示す D と F とにより定義される。

F は、ホーン節の有限集合である。ホーン節は、式(1) または式(2) で表される。

$$\alpha_1 \wedge \cdots \wedge \alpha_n \rightarrow \beta. \quad (1)$$

$$\alpha_1 \wedge \cdots \wedge \alpha_n \rightarrow \perp. \quad (2)$$

ここに、 α_i ($i = 1, \dots, n$; $n \geq 0$) および β は一階述語論理のアトム (A t o m i c f o r m u l a) であり、 \wedge は連言、 \rightarrow は含意、 \perp は偽 (F a l s i t y) である。また、 $\alpha_1 \wedge \cdots \wedge \alpha_n$ を前件、 β を後件と呼ぶ (節(2) の後件は偽)。更に、節中の全ての変数は頭部において全称記号で束縛されているものとする。ホーン節(1) を A P R I C O T / 0 では、以下の形式で記述する。

$$I D : : \alpha_1, \dots, \alpha_n -> \beta. \quad (3)$$

ここに、ID は節名である。また、前件が空 ($n = 0$) の場合のホーン節を A P R I C O T / 0 では、以下の形

式で記述する。

β .

(4)

この場合、 β は基礎アトムに限る。また、ホーン節(2)をAPRICOOT/ \emptyset では、以下の形式で記述する。

ID : : $\alpha_1, \dots, \alpha_n -> []$. (5)

Dは、 $\alpha : \beta / \beta$ のような推論規則で定義される正規デフォルトの集合であり、 α はアトム α_i ($i = 1, \dots, n$; $n \geq 0$)の連言、 β はアトムとする。ここで、 α をデフォルトの前提、 β をデフォルトの結論という。これをAPRICOOT/ \emptyset では、以下の形式で記述する。

ID : : $\alpha_1, \dots, \alpha_n -> \text{assume } (\beta)$. (6)

ここに、IDは規則名である。また、ここで前提が空($n = 0$)の場合、すなわち： β / β の場合、APRICOOT/ \emptyset では、以下の形式で記述する。

assume (β). (7)

ここに、 β は基礎アトムに限る。

3. ATMS

以下に、ATMS⁽³⁾の概要について示す。
①ノード

ATMSが管理するデータは、命題論理のアトム、あるいは述語論理の基礎アトムかそれらの連言である。データが基礎アトムの連言となるのは、5章で述べるRete-likeネットワークの2入力ノードに対応するノードに限る。データに対応してATMS内部では、以下に示すデータ構造のノードが生成される。

Datum: データ。

Label: ラベル。

Justifications: このデータへの理由付けの前件ノードのポインタの集合の集合。

Consequents : このデータを前件とする理由付けの後件ノードのポインタの集合.

Contradictory : OUTなら1, INなら0とする.

ノードは、データで一元的に管理されている。以下、ある論理式 β とその基礎化代入 θ とで、その論理式の基礎式を β_θ と記述する。また、基礎式 β_θ に相当するノードを、単に $\langle \beta_\theta \rangle$ と記述する。

② 理由付け

ホーン節とその基礎化代入 θ とで表された式(8)に基づいて、基礎式 $\alpha_i\theta$ ($i = 1, \dots, n$; $n \geq 0$)から基礎式 β_θ が導かれたことを ATMS に理由付け(9)という形式で与える。

$$(\alpha_1 \wedge \dots \wedge \alpha_n \rightarrow \beta) \quad \theta. \quad (8)$$

$$\langle \alpha_1 \theta \rangle, \dots, \langle \alpha_n \theta \rangle \Rightarrow \langle \beta \theta \rangle. \quad (9)$$

ここに、 $\langle \alpha_1 \theta \rangle, \dots, \langle \alpha_n \theta \rangle$ をこの理由付けの前件ノードと呼び、 $\langle \beta \theta \rangle$ をこの理由付けの後件ノードと呼ぶ。理由付けに相当するホーン節の集合を J で表す。

③ 仮定

: $\beta_\theta \not\vdash \beta_\theta$ に相当する理由付けを以下のように表す。

$$\langle \Gamma \beta \theta \rangle \Rightarrow \langle \beta \theta \rangle.$$

ここに、 $\langle \Gamma \beta \theta \rangle$ を仮定ノードと呼び、 $\Gamma \beta \theta$ を仮定と呼ぶ。

④ 環境

仮定の集合を環境と呼び E で表す。

⑤ ラベル

環境 E と J よりある基礎式が導けるような全ての環境 E の集合をその基礎式の完全ラベルという。また、ある環境 E と J より偽が導けるとき、 E を J に対して矛盾する環境であるといい、この E を単に矛盾環境という。ラベルは、完全ラベルから矛盾環境および他を包含する環境を取り除いた環境の集合である。 $\langle \alpha_i \theta \rangle$ ($i = 1, \dots, n$; $n \geq 0$) を前件ノードとする理由付けが与えられたとき、更新が必要なラベルは以下の手順により計算

できる。

i. 後件ノードのラベルを $L_i < \alpha_i \theta >$ ($i = 1, \dots, n$; $n \geq 0$) のラベル L_i として、 L' を計算する。ここに、環境をビットベクタで表現しておくと、 $\cup_i E_i$ はビット演算 or の繰り返しにより L' が計算できる。

$$L' = \{\cup_i E_i, | E_i \in L_i\}.$$

ii. $L \cup L'$ から矛盾環境および他を包含する環境を取り除いた L'' を後件ノードの新しいラベルとする。

iii. もし $L = L''$ ならば終了し、さもなければ iv を行う。

iv. もし後件が偽ならば N o g o o d s の処理を行い、さもなければラベルの伝播を行う。ここに N o g o o d s の処理は、 $E \in L''$ なる E を包含する環境を当該ノード（偽に相当するノード）を除く全てのノードのラベルから削除することである。また、ラベルの伝播は、この後件ノードを前件ノードとする理由付けの後件ノードのラベル計算を i より行うことである。

J と矛盾しないある 1 つの環境に対応付けて、その仮定の集合の基で導くことができるデータの集合を 1 つのコンテキストと呼ぶ。あるデータが属する複数のコンテキストを表す環境の極小集合は、そのデータに相当するノードのラベルである。つまり、A T M S は複数のコンテキストを一括管理（多重コンテキスト管理）している。

⑤ 信念の状態

あるデータのラベルが空のとき、信念の状態は O U T であるといい、少なくとも 1 つの環境がラベルの要素であれば信念の状態は I N であるという。

4. 仮説推論システム A P R I C O T / 0 の構成

F i g . 1 は仮説推論システム A P R I C O T / 0 の構成を示すものであり、知識ベースのコンパイラ⁽¹⁴⁾、推論エンジンと A T M S とにより構成されている。

コンパイラは、前記知識ベースを入力し、それに対応する R e t e - 1 l i k e ネットワークを構築し出力する。推論エンジンはこれに基づき、多重コンテキストで前向きに推論を実行する。A T M S が多重コンテキスト管理を行うことを利用して、推論エンジンでは規則の適用に関する競合解消を行なう必要がない。

推論エンジンは、A T M S からある基礎アトムの信念の状態を受信し、導出原理に基づくパターン・マッチング

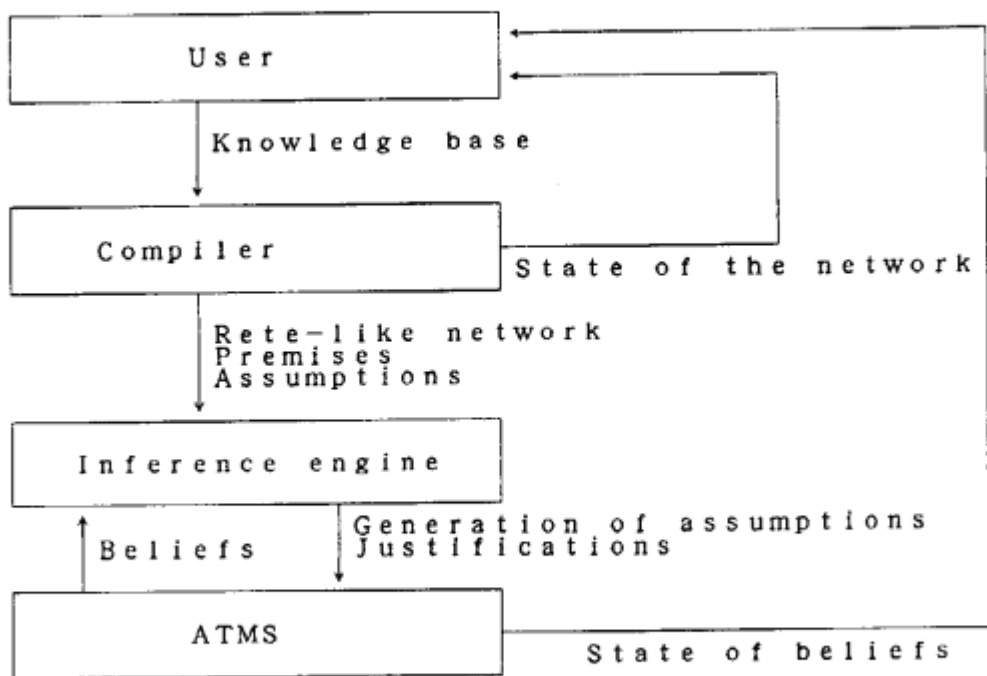


Fig. 1 Configuration of APRICOT/O.

グによりその結論である基礎アトムへの理由付けを生成し ATMS に送信する。更に、デフォルトの前提の信念の状態が IN となつたときに ATMS に新たな仮定の生成タスクと共に理由付けを送る。ATMS は、無矛盾性管理を行い、最終的に推論によって得られた全ての基礎アトムとそのラベルをユーザに表示することができる。

5. Rete-like ネットワーク

APRICOOT / 0 の入力となる知識ベースの F の中で形式(3) (5) の全ての節および D の中で形式(6)の全てのデフォルトを対象に Rete-like ネットワークに展開する。これによって、後で述べる推論実行時において、複数の節の前件やデフォルトの前提にあって共有できるアトムの連言と IN の状態である基礎アトムとの間でのユニフィケーション、さらに理由付けに伴うラベル計算の手間を省くことを実現する。従って、形式(4), (7) は、コンパイルの対象外とする。

Rete-like ネットワークは、Rete ネットワークと同様に 1 個の root ノード、複数の 1 入力ノード、2 入力ノード、終端ノードおよびそれらを結ぶリンクから構成される。Rete-like ネットワークには、基礎式に対応する ATMS ノード（トークンとも呼ぶ。以下、単にノードと書く。実際には、ノードへのポインタでよい。）が流れることにより推論が実行される。

① root ノード

root ノードは、スロット Successor を持ち、全ての 1 入力ノードへのポインタの集合を保持している。

② 1 入力ノード

以下のスロットを持つ。

Datum : freeze (α) .

Successor : 2 入力ノードへのポインタの集合。

Terminal : 終端ノード（もし存在すれば）へのポインタの集合。

WM : 推論実行時に使用するワーキング・メモリで、基礎式 $\alpha \theta$ に対応するノードへのポインタの集合。

ここに, `freeze`(α) は, 論理式 α に含まれる全ての変数を新しい定数記号（例えば \$, これを変数を表現する定数記号と解釈）に置き換えてできる基礎式を返す（フリーズする）関数とする。また, この逆（メルトする）関数も次のように定義する。

`melt`(`freeze`(α)) = α .

任意の節 $\alpha_1 \wedge \cdots \wedge \alpha_n \rightarrow \beta$ の前件あるいは任意のデフォルト $\alpha_1 \wedge \cdots \wedge \alpha_n : \beta / \beta$ の前提に記述されている各アトム α_i ($i = 1, \dots, n$; $n \geq 1$) について, `freeze`(α_i) を `Datum`とした 1 入力ノードを生成する。このとき, `root` ノードの `Successor` スロットにこの 1 入力ノードへのポインタを追加しておく。この 1 入力ノードは, `Datum` について一元管理されている。

③ 2 入力ノード

以下のスロットを持つ。

`Datum`: `freeze`($\alpha \wedge \alpha_j$).
`Successor`: 2 入力ノードへのポインタの集合。
`Predecessor`: α に対応する 2 入力ノードおよび α_j に対応する 1 入力ノードへのポインタの集合。
`Terminal`: 終端ノード（もし存在すれば）へのポインタの集合。
`WM`: 推論実行時に使用するワーキング・メモリで, 基礎式 ($\alpha \wedge \alpha_j$) θ に対応するノードへのポインタの集合。

任意の節 $\alpha_1 \wedge \cdots \wedge \alpha_n \rightarrow \beta$ の前件あるいは任意のデフォルト $\alpha_1 \wedge \cdots \wedge \alpha_n : \beta / \beta$ の前提の各アトムの連言 $\alpha = \wedge_i \alpha_i$ ($i = 1, \dots, j - 1$; $j \geq 2$) とアトム α_j との連言 $\alpha \wedge \alpha_j$ に対応する 2 入力ノードが, $j = 2, \dots, n$ について生成される。この 2 入力ノードは, `Datum` について一元管理されている。

④ 終端ノード

節 $\alpha_1 \wedge \cdots \wedge \alpha_n \rightarrow \beta$ に対応する終端ノードを節名 `ID` を用いて #`ID` で表し, これはノード(10)のようなトークンが流れてきたときに, θ が β の基礎化代入となるならば, 理由付け(11)を `ATMS` に送る。

$$<(\alpha_1 \wedge \cdots \wedge \alpha_n) \theta>, \quad (10)$$

$$<(\alpha_1 \wedge \cdots \wedge \alpha_n) \theta> \Rightarrow <\beta \theta>. \quad (11)$$

また、デフォルト $\alpha_1 \wedge \cdots \wedge \alpha_n : \beta / \beta$ に対する終端ノードを規則名 I D を用いて # I D で表し、これはノード (10) のようなトークンが流れてきたときに、 θ が β の基礎化代入となるならば、理由付け (12) を A T M S に送る。

$$<(\alpha_1 \wedge \cdots \wedge \alpha_n) \theta>, <\Gamma \beta \theta> \Rightarrow <\beta \theta>. \quad (12)$$

このような終端ノードは、節の前件またはデフォルトの前提に対応する 1 入力ノードまたは 2 入力ノードにおける Terminal スロットからポイントされる。

6. 推論方式

仮説推論システム A P R I C O T / 0 の推論部は、前向き推論エンジンと A T M S とから構成されており、推論エンジンでデータの理由付けを生成して A T M S に送り、A T M S ではデータの信念の状態を返すという結合である (Fig. 1 参照)。

推論エンジンは、1 つの待ち行列 (初期状態は空) を有している。

まず、Rete - like ネットワークへのコンパイルから除外されていた入力知識ベースのうち、 $\beta \theta$ を基礎アトムとして、形式 (4) に対応する節 $\beta \theta$ に対して理由付け (13) を、形式 (7) に対応するデフォルト : $\beta \theta / \beta \theta$ について理由付け (14) を A T M S に送り、待ち行列の末尾に全ての $<\beta \theta>$ を追加する。

$$\Rightarrow <\beta \theta>. \quad (13)$$

$$<\Gamma \beta \theta> \Rightarrow <\beta \theta>. \quad (14)$$

この初期設定の後、Fig. 2 に E S P ⁽¹³⁾ で記述したアルゴリズムに従って推論エンジンは動作する。以下、

```

goal (Queue, Root, ATMS) :-
    :get (Queue, Token),
    :datum (Token, At),
    :successor (Root, Node),
    :datum (Node, D),
    :meet (D, A),
    A=At,
    :add_wm (Node, Token),
    next (Token, Node, ATMS, Queue) ;
goal (Queue, Root, ATMS) ;

next (Token, Node, ATMS, Queue) :-
    :successor (Node, Node_2),
    :predecessor (Node_2, Node_1),
    :wm (Node_1, WME),
    :contradictory (WME, 0),
    :datum (WME, A),
    :datum (Token, F),
    :justification (ATMS, [Token, WME], F ^ A, Na),
    :add_wm (Node_2, Na),
    next (Na, Node_2, ATMS, Queue) ;
next (Token, Node, ATMS, Queue) :-
    :terminal (Node, ID),
    :execute (ID, Token, ATMS, Na),
    :add (Queue, Na),
    fail ;

```

Fig. 2 Reasoning algorithm on APRICOT/0.

図中の変数記号を括弧内に示し、これについて説明する。

①正リテラルが $goal / 3$ の第1節

推論エンジンは、待ち行列 (Queue) より IN 状態であるノードを先頭から取出し、Retrieval ネットワークの root ノード (Root) から流す。このノードをトークン (Token) と呼ぶ。root ノードと Successor リンクで結合されている 1 入力ノード (Node) にそのトークンを流す。1 入力ノードの Datum をメルトしそれ (A) とトークンのデータ (Alt) がユニファイすれば、その 1 入力ノードの WM にそのトークンを保持させる。

②正リテラルが $next / 4$ の第1節

その 1 入力ノード (Node) と Successor リンクで結合されている 2 入力ノード (Node_2) にそのトークンを流す。2 入力ノードにおいて、それと Predecessor リンクで結合されている他の 1 入力ノードまたは 2 入力ノード (Node_1) の WM に保持されている IN の状態 (信念の状態をチェックするメソッド (15) による) であるノード (WME) のデータ (A) とトークンのデータ (F) との連言 ($F \wedge A$) をとり、中間的に理由付けを ATMS に送る。その連言に対応するノード (Na) を新しいトークンとする。図において、以下のメソッド (16) は、理由付け (17) を意味する。

: contradictory (WME, 0). (15)

: justification (ATMS,
[Token, WME], $F \wedge A$, Na). (16)

$\langle F \rangle, \langle A \rangle \Rightarrow \langle F \wedge A \rangle.$ (17)

この新しいトークンをその 2 入力ノードの WM に保持させ、その 2 入力ノードと Successor リンクで結合されている他の 2 入力ノードに流す (next / 4 の第1節ループ)。以下、同様な操作を行う。

③正リテラルが $next / 4$ の第2節

②の後、Successor リンクで結合されている 2 入力ノードがなくなつたときに、そのノード (Node) と Terminal リンクで結合されてい

る終端ノード (I D) を実行する (5 章参照) . その結果新しい基礎アトムが生成されれば、それに対応するノード (N a) を待ち行列に追加する。新しい基礎アトムが生成されず、新しい理由付け (上を含む) が生成された場合には、A T M S にその理由付けを送るのみでよい。

④ 正リテラルが n e x t / 4 の第 2 節で f a i l した後

③ の後、オールタナティブとして残っている終端ノード、オールタナティブとして残っている W M に保持されているノード、オールタナティブとして残っている Successor リンクで結合されている 2 入力ノード、オールタナティブとして残っている 1 入力ノードについても同様な処理を行う。

オールタナティブとして残っているものがなくなった場合に、新しいトークンを待ち行列から取り出し、①より同様に行う。このような操作を繰り返しトークンの待ち行列が空になった場合に、推論エンジンは停止する (正リテラルが g o a l / 3 の第 2 節) 。

7. 評価

7.1 例題

本推論方式の評価を行うために、次の例題を考える。部門 1 の 1 人と部門 2 の 1 人と同時にミーティングをしたい。部門 1 の a と b , 部門 2 の c と d はこのミーティングに出席してくれると考えられる。また、そのミーティングの場所の候補は、会議室 2 1 2 , 会議室 2 1 3 , 会議室 2 1 4 , 海側ラウンジ , 山側ラウンジである。会議室は空いていること、ラウンジは静かであるという条件がある。普通は、会議室は空いていて、ラウンジは静かであると考えてよい。しかし、2 1 2 会議室が予約済みであること、および山側ラウンジは騒々しいことがこのとき既にわかっているものとする。出席者と開催場所を決定せよ。

F i g . 3 はこの例題を解くための知識ベースの例であり、これに対応する R e t e - 1 i k e ネットワークを F i g . 4 に示す。F i g . 4 において、X , Y は R e t e ノードの識別子であり、X が 0 ならば r o o t ノード、X が 1 ならば 1 入力ノード、2 ならば 2 入力ノード、3 ならば終端ノードを示し、Y は同じ種類のノードを区別するための番号である。更に、実線は

```

f a l s i t y 1 ::

    p r e s e n t ( N a m e , S e c t i o n ) ,
    n o t _ p r e s e n t ( N a m e , S e c t i o n )
->
    [] .

f a l s i t y 2 ::

    v a c a n t ( N o ) ,
    r e s e r v e d ( N o )
->
    [] .

f a l s i t y 3 ::

    q u i e t ( S i d e ) ,
    n o i s y ( S i d e )
->
    [] .

v a c a n c y ::

    r o o m ( N o )
->
    a s s u m e ( v a c a n t ( N o ) ) .

q u i e t _ l o u n g e ::

    l o u n g e ( S i d e )
->
    a s s u m e ( q u i e t ( S i d e ) ) .

m e e t i n g ::

    p r e s e n t ( N a m e 1 , s e c t i o n 1 ) ,
    p r e s e n t ( N a m e 2 , s e c t i o n 2 ) ,
    v a c a n t ( N o )
->
    m e e t i n g ( N a m e 1 , N a m e 2 , N o ) .

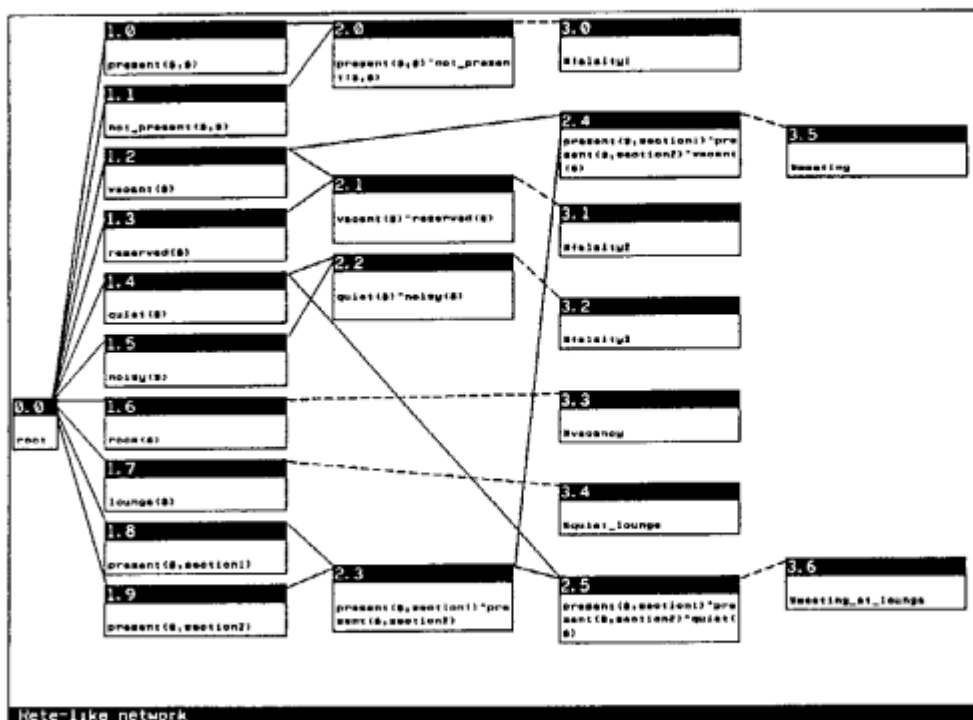
m e e t i n g _ a t _ l o u n g e ::

    p r e s e n t ( N a m e 1 , s e c t i o n 1 ) ,
    p r e s e n t ( N a m e 2 , s e c t i o n 2 ) ,
    q u i e t ( S i d e )
->
    m e e t i n g ( N a m e 1 , N a m e 2 , S i d e ) .

a s s u m e ( p r e s e n t ( a , s e c t i o n 1 ) ) .
a s s u m e ( p r e s e n t ( b , s e c t i o n 1 ) ) .
a s s u m e ( p r e s e n t ( c , s e c t i o n 2 ) ) .
a s s u m e ( p r e s e n t ( d , s e c t i o n 2 ) ) .
r o o m ( 2 1 2 ) .
r o o m ( 2 1 3 ) .
r o o m ( 2 1 4 ) .
l o u n g e ( s e a s i d e ) .
l o u n g e ( m o u n t a i n s i d e ) .
r e s e r v e d ( 2 1 2 ) .
n o i s y ( m o u n t a i n s i d e ) .

```

Fig. 3 Knowledge base of the meeting plan.



X, Y : Identifier of a Rete node.

X : 0 : Root node, 1 : one-input node, 2 : two-input node,
3 : Terminal node.

Y : Number.

— : Successor (Predecessor) link.

--- : Terminal link.

Fig. 4 Rete-like network of the knowledge base shown in the figure 3.

Successor および Predecessor リンク、点線は Terminal リンクを示すものである。

7・2 比較システム

APRICO / 0 の推論速度評価のため比較システムを設定した。これは、ATMS と Prolog 上の慣例的な前向き推論システム (CIE : Conventional Inference Engine) とを単純に結合した仮説推論システムであり、中間的なラベル計算は行わずかつ保持していない。Fig. 5 に ESP で比較システムの推論アルゴリズムを示す。F, D に含まれる全ての知識は図のように ESP の節 (正リテラルが rule / 2 の節) にコンパイルされる。前向き推論は、goal / 2 なる述語呼び出しにより行われる。正リテラルが rule / 2 の節および正リテラルが goal / 2 の節の中のメソッドの意味は以下のとおりである。

: set_flag (CIE, 0),

CIE のフラグを 0 とする。このフラグは、初期設定を 1 とする。既に、0 の場合 fail する。このフラグは、goal ループで新しい基礎アトムが生成されると 1 となる。

: set_flag (CIE, 1),

CIE のフラグが 1 ならば何もしない。0 ならば 1 とする。

: in (ATMS, α_i , $\langle \alpha_i \theta_i \rangle$),

α_i とその基礎化代入 θ_i とで、基礎アトム $\alpha_i \theta_i$ なるデータをもつ IN 状態のノードが存在すれば、そのノードを返す (オールタナティブがある)。存在しなければ fail する。

: assumption (ATMS, $\beta \theta$,

$\langle \Gamma \beta \theta \rangle$),

β とその基礎化代入 θ とで、基礎アトム $\beta \theta$ の仮定ノード $\langle \Gamma \beta \theta \rangle$ を生成する。

7・3 本推論方式の効果

```

goal (CIE, ATMS) :-
    : set_flag (CIE, 0),
    rule (CIE, ATMS),
    goal (CIE, ATMS);
goal (CIE, ATMS);

%%  $\alpha_1 \wedge \dots \wedge \alpha_n \rightarrow \beta \in F$ ,
rule (CIE, ATMS) :-
    : in (ATMS,  $\alpha_1$ , < $\alpha_1\theta_1$ >),
    .
    .
    .
    : in (ATMS,  $\alpha_i\theta_1 \dots \theta_{i-1}$ , < $\alpha_i\theta_1 \dots \theta_i$ >),
    .
    .
    .
    : in (ATMS,  $\alpha_n\theta_1 \dots \theta_{n-1}$ , < $\alpha_n\theta_1 \dots \theta_n$ >),
    : justification (ATMS,
        [< $\alpha_1\theta_1$ >, . . ., < $\alpha_i\theta_1 \dots \theta_i$ >, . . ., < $\alpha_n\theta_1 \dots \theta_n$ >],
         $\beta\theta_1 \dots \theta_n$ , < $\beta\theta_1 \dots \theta_n$ >),
    : set_flag (CIE, 1),
    fail;

%%  $\alpha_1 \wedge \dots \wedge \alpha_n : \beta / \beta \in D$ ,
rule (CIE, ATMS) :-
    : in (ATMS,  $\alpha_1$ , < $\alpha_1\theta_1$ >),
    .
    .
    .
    : in (ATMS,  $\alpha_i\theta_1 \dots \theta_{i-1}$ , < $\alpha_i\theta_1 \dots \theta_i$ >),
    .
    .
    .
    : in (ATMS,  $\alpha_n\theta_1 \dots \theta_{n-1}$ , < $\alpha_n\theta_1 \dots \theta_n$ >),
    : assumption (ATMS,  $\beta\theta_1 \dots \theta_n$ , < $\Gamma\beta\theta_1 \dots \theta_n$ >),
    : justification (ATMS,
        [< $\alpha_1\theta_1$ >, . . ., < $\alpha_n\theta_1 \dots \theta_n$ >, < $\Gamma\beta\theta_1 \dots \theta_n$ >],
         $\beta\theta_1 \dots \theta_n$ , < $\beta\theta_1 \dots \theta_n$ >),
    : set_flag (CIE, 1),
    fail;
    .
    .
rule (CIE, ATMS);

```

Fig. 5 Reasoning algorithm based on the conventional inference engine with the ATMS.

Table 1 は、 Rete-like ネットワークの部分的なノードの動作時における WM の要素 (WME) を示すものである。この表で、述語記号および定数記号は略記してあり、ラベル (L) はビット・ベクタを十進表示している。これを用いて本方式のラベル計算コストについて比較システムとの対比で考察する。この考察において、前記ラベル計算のうちビット演算 or の回数に着目する。

[APRICOT / 0]

- ① 前提が空のデフォルトに対応するノードがトークンとなり、1 入力ノード 1, 8 および 1, 9 にトークンが流れてきて、2 入力ノード 2, 3 において中間的な理由付けを ATMS に送り、中間的なラベル計算を行う。このとき、4 回 or が実行される。
- ② 前件が空の節により推論規則 vacancy および quiet_loung e が適用されて仮定の生成および理由付けが ATMS に送られるが、このときは or の回数は 0 である。
- ③ ②により生成されたノードのうち以下のノードは、それぞれ節 falsity_2 および falsity_3 により信念の状態は OUT になる。

```
<vacant(212)>.  
<quiet(mountainside)>.
```

よって、2 入力ノード 2, 4 および 2, 5 にはトークンは流れていかない。2 入力ノード 2, 4 および 2, 5 に 1 入力ノードから流れてくるトークンは、それぞれ 2 個と 1 個である。これらのトークンのデータにより、2 入力ノード 2, 4 および 2, 5 それぞれにおいて、2 入力ノード 2, 3 に保持されているノードのデータと連言をとったデータに対する理由付けが ATMS に送られる。このとき、それぞれ、8 回、4 回の or が実行される。

④ ③で生成された中間的なノードが新しいトークンとなり、それぞれ終端ノード 3, 5 および 3, 6 に送られ、ここでは or 実行されず導出データ meeting / 3 の基礎アトムに対応するノードが生成される。

⑤ 以上のビット演算 or の回数の総計は、16 回である。

「比較システム」

Table 1 Working memory elements of some nodes
on the Rete-like network.

N : Identifier of the Rete node.

WME : Working memory elements of the Rete node.

L : Label of the ATMS node.

Bit-vectors are expressed in decimal notation.

p : present.

s : section.

v : vacant.

q : quiet.

ss : seaside.

ms : mountainside.

\wedge : conjunction.

N	Datum of WME	L
1. 8	$p \{a, s_1\}$ $p \{b, s_1\}$	1 2
1. 9	$p \{c, s_2\}$ $p \{d, s_2\}$	4 8
2. 3	$p \{a, s_1\} \wedge p \{c, s_2\}$ $p \{b, s_1\} \wedge p \{c, s_2\}$ $p \{a, s_1\} \wedge p \{d, s_2\}$ $p \{b, s_1\} \wedge p \{d, s_2\}$	5 6 9 10
1. 2	$v \{212\}$ $v \{213\}$ $v \{214\}$	32 64
1. 4	$q \{ss\}$ $q \{ms\}$	128
2. 4	$\{p \{a, s_1\} \wedge p \{c, s_2\}\} \wedge v \{213\}$ $\{p \{b, s_1\} \wedge p \{c, s_2\}\} \wedge v \{213\}$ $\{p \{a, s_1\} \wedge p \{d, s_2\}\} \wedge v \{213\}$ $\{p \{b, s_1\} \wedge p \{d, s_2\}\} \wedge v \{213\}$ $\{p \{a, s_1\} \wedge p \{c, s_2\}\} \wedge v \{214\}$ $\{p \{b, s_1\} \wedge p \{c, s_2\}\} \wedge v \{214\}$ $\{p \{a, s_1\} \wedge p \{d, s_2\}\} \wedge v \{214\}$ $\{p \{b, s_1\} \wedge p \{d, s_2\}\} \wedge v \{214\}$	37 38 41 42 69 70 73 74
2. 5	$\{p \{a, s_1\} \wedge p \{c, s_2\}\} \wedge q \{ss\}$ $\{p \{b, s_1\} \wedge p \{c, s_2\}\} \wedge q \{ss\}$ $\{p \{a, s_1\} \wedge p \{d, s_2\}\} \wedge q \{ss\}$ $\{p \{b, s_1\} \wedge p \{d, s_2\}\} \wedge q \{ss\}$	133 134 137 138

① 節 meeting では、前件に書かれているアトムが 3 個あり、それぞれとユニファイ可能な基礎アトムが 2 個づつ存在し、それぞれ 1 個の環境を有しているため、16 回 or (8 通りの組み合わせについて 2 回の or がとられる) が実行される。

② 節 meeting_at_lounge では、前件にアトム present / 2 が 2 個書かれており、それぞれにユニファイ可能な基礎アトムが 2 個づつ存在し、更にアトム quiet / 1 とユニファイ可能な基礎アトムが 1 個存在している。これらの基礎アトムが、それぞれ 1 個の環境を有しているので、8 回 or (4 通りの組み合わせについて 2 回の or がとられる) が実行される。

③ 以上のビット演算 or の回数の総計は、24 回である。

よって、本方法の方が 8 回ビット演算 or が削減される。これに付随してラベル計算 ii の処理も削減される。

より一般に、本方法の効果について述べる。節 (18) が F の要素であるとする。また、θ を論理式 α の任意の基礎化代入とし、基礎式 α 0 に相当するノードの環境数を全ての θ について総和をとった数を論理式 α の環境数と呼び、N(α) で表すこととする。<βθ> のラベルを求めるための比較システム上で必要なビット演算 or の回数を Nc, APRICOT / 0 上で必要なビット演算 or の回数を Na とすると、Nc, Na はそれぞれ式 (19), 式 (20) に示すようになる。

$$\alpha_1, \dots, \alpha_{n-1}, \alpha_n \rightarrow \beta. \quad (18)$$

$$N_c = (n - 1) \prod_{i=1}^n N(\alpha_i). \quad (19)$$

$$N_a = \sum_{i=2}^n \{ N(\bigwedge_{j=1}^{i-1} \alpha_j) + N(\alpha_i) \} \quad (20)$$

ここに $1 \leq j \leq n$ として、

$$N(\bigwedge_{i=1}^j \alpha_i) \leq \prod_{i=1}^j N(\alpha_i) \quad (21)$$

である。不等号がついているのは、左辺は右辺から矛盾環境を取り除いた数になるからである。いま、等号の場

合について N_a と N_c の比をとると式(22)のようになる。これは、 $\prod_i N(\alpha_i)$ 個の環境のうち、矛盾環境がないと仮定したものであり、矛盾環境が生成される場合には本方法による効果は実際にはより大きい。

$$\begin{aligned} N_a / N_c = & \\ & [1 / \{N(\alpha_3) \cdot N(\alpha_4) \cdot \dots \cdot N(\alpha_n)\} + \\ & 1 / \{N(\alpha_4) \cdot N(\alpha_5) \cdot \dots \cdot N(\alpha_n)\} + \\ & \dots + 1 / N(\alpha_n) + 1] / (n - 1). \quad (22) \end{aligned}$$

式(22)によって、APRICO T / 0 上でのビット演算 or の回数が比較システム上でのビット演算 or の回数よりも小さくなるのは、 $i = 3, 4, \dots, n$ の任意の i について、 $N(\alpha_i) \geq 2$ であるときである（全ての i について $N(\alpha_i) = 1$ のときは比は 1）。つまり、2 入力ノードがありかつその 2 入力ノードの Successor リンクで指示される 2 入力ノードに 1 入力ノードから複数のトークンまたは複数の環境をラベルに持ったトークンが流れ込む場合ビット演算 or の回数が減少すると結論付けられる。

また、 γ をアトムとして、節(21)が F の要素であり、既に節(18)に対する $\langle \beta \theta \rangle$ のラベルが計算された後ならば、このときの $\langle \beta \theta \rangle$ のラベル（節(18)と節(23)の後件が同じである必要はない。）を求めるための比較システム上で必要なビット演算 or の回数 N_c' 、APRICO T / 0 上で必要なビット演算 or の回数 N_a' はそれぞれ式(24)、式(25)に示すようになる。

$$\alpha_1, \dots, \alpha_{n-1}, \gamma \rightarrow \beta. \quad (23)$$

$$N_c' = (n - 1) \cdot \left\{ \prod_{i=1}^{n-1} W(\alpha_i) \right\} \cdot W(\gamma). \quad (24)$$

$$N_a' = W(\wedge_{j=1}^{n-1} \alpha_j) \cdot W(\gamma). \quad (25)$$

この場合も(21)式で両者が等しいとして、 N_a' と N_c' との比をとると式(26)のようになる。

$$N_a' / N_c' = 1 / (n - 1). \quad (26)$$

式(26)によって、APRICOT／0上のビット演算 o_r の回数が比較システム上のビット演算 o_r の回数よりも小さくなるのは、 n が2を越える場合である。つまり、2入力ノードがありかつその2入力ノードが、前件のアトムの数が3以上の複数の節に共通である場合、ビット演算 o_r の回数が減少すると結論付けられる。

これらの考察は、デフォルトについても同様である。以上より、知識ベースをRete-likeネットワークにコンパイルしたとき、2入力ノードがありかつその2入力ノードのSuccessorリンクで指示される2入力ノードに1入力ノードから複数のトークンまたは複数の環境をラベルに含むトークンが流れ込む場合、またはその2入力ノードが前件のアトムの数が3以上の複数の節または前提のアトムの数が3以上の複数のデフォルトに共通である場合に、ビット演算 o_r の回数が減少し、本方法による高速化の効果が有効となる。

7・4 推論時間に関する評価実験

Fig. 6は知識ベース規模に応じた本方法の効果を評価するためのテスト知識ベースである。会議の参加者を10名、空き会議室の数を n として、 n をパラメータとした実験を行う。

前述の結果を用いて、このテスト知識ベースにおいて、ビット演算 o_r の総回数比は $(n+9)/(10+n)$ である。よって、 n が十分大きい場合には、APRICOT／0は比較システムに比べビット演算 o_r の回数が $1/10$ になる。これは、ビット演算 o_r の回数にのみ着目した結果であり、他の処理時間も含めた実験結果はFig. 7に示されている。図より、APRICOT／0は比較システムに比べ、知識ベースの規模によらず、約7倍推論速度が速いことが明らかとなった。

また、APRICOT／0上で入力知識ベースからRete-likeネットワークにコンパイルする時間は、知識ベースの規模に応じて増加している。一方、比較システムにおいて入力知識ベースからESPプログラムにコンパイルする時間は、知識ベースの規模によらずほぼ一定である。しかし、コンパイル時間と推論時間との和で考察すると、実験の範囲内において、知識ベース

```

assume (present (name1)).
assume (present (name2)).
.

.

assume (present (name10)).

assume (vacant (1)).
assume (vacant (2)).
.

.

assume (vacant (n)).

.

.

IDj:::
present (name1),
present (name2),
.

.

present (name10),
vacant (i)
->
meeting (name1, name2, . . . , name10, i).

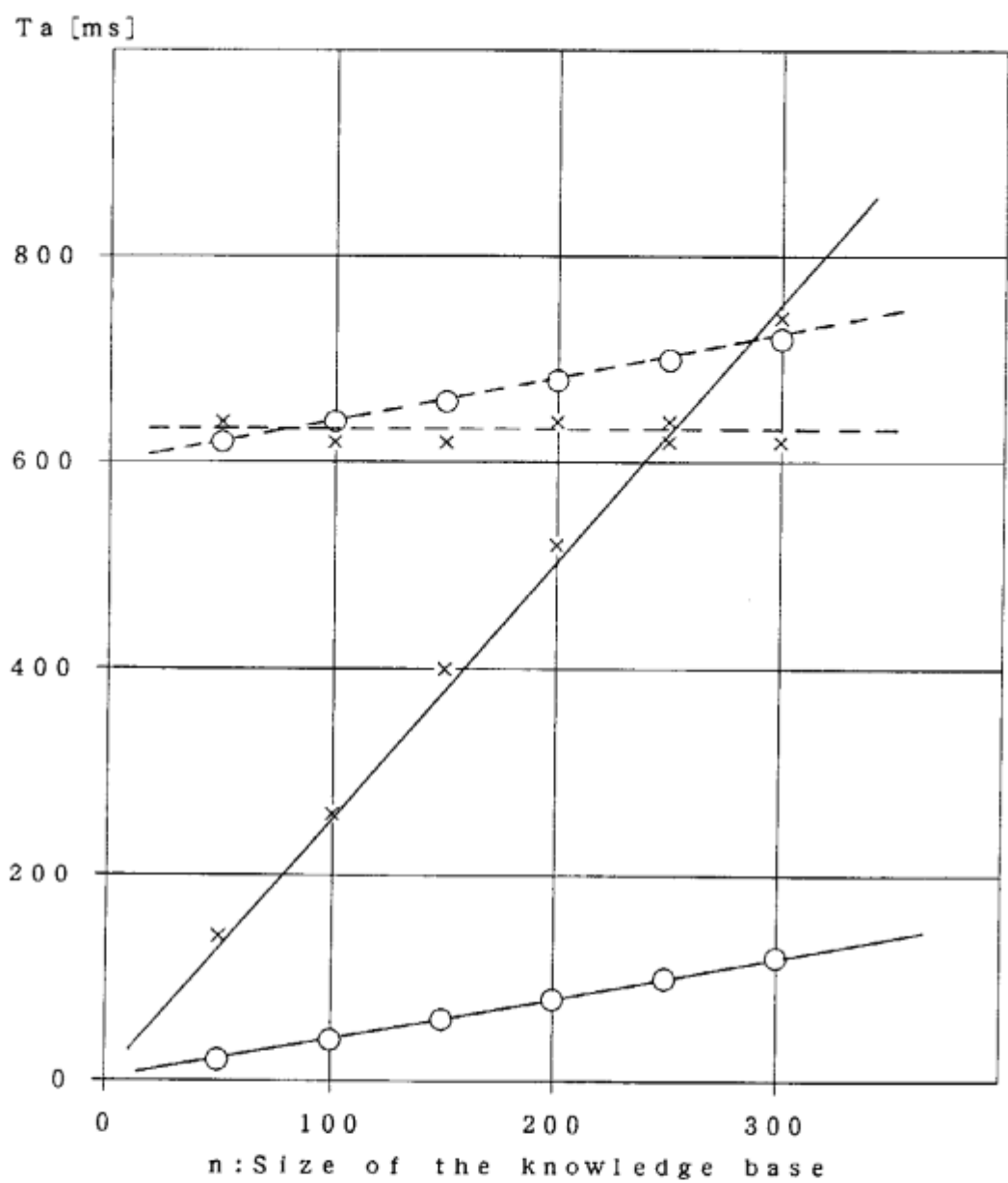
.

.

%< i=1, 2, . . . , n.
%< Number of clauses=n.
%< Number of defaults=n+10.

```

F i g. 6 T e s t e d k n o w l e d g e b a s e.



- : Reasoning on APRICOT/0.
- ×———: Reasoning on the CIE with ATMS.
- : Compiling on APRICOT/0.
- ×-----: Compiling on the CIE with ATMS.

$T_a = T/n$,
 where T means the total execution time,
 n = Number of clauses,
 $n+10$ = Number of defaults.

Fig. 7 Evaluation of APRICOT/0.

の規模によらず A P R I C O T / 0 の方が比較システムよりも速いことが結論付けられる。

8. むすび

以上、前向き推論システムと A T M S とを結合した仮説推論システムにおいて、効率的な推論方式について述べた。

本仮説推論方式は、Rete-like ネットワークの 2 入力ノードにおいて中間的なラベル計算を行って保持しておくことにより、仮説推論速度の向上を実現している。本方法による高速化の効果は、与えられた知識ベースを Rete-like ネットワークにコンパイルしたとき、2 入力ノードがありかつその 2 入力ノードの Successor リンクで指示される 2 入力ノードに 1 入力ノードから複数のトークンまたは複数の環境をラベルに含むトークンが流れ込む場合、またはその 2 入力ノードが前件のアトムの数が 3 以上の節または前提のアトムの数が 3 以上のデフォルトに共通である場合に有効である。

この方式を用いて、仮説推論システム A P R I C O T / 0 を P S I - I I 上にインプリメントした。また、同じマシン上に比較システムとして、この推論方式を採用しない仮説推論システムをインプリメントし、推論実行速度について評価を行った。その結果によれば、A P R I C O T / 0 は比較システムに比べ、知識ベースの規模によらず、単位知識当たりの処理時間について推論速度が定数倍速いことがわかった。

一方、単位知識当たりのコンパイル時間について、A P R I C O T / 0 は知識ベースの規模に応じて増加、比較システムは知識ベースの規模によらずほぼ一定である。しかし、推論速度まで考慮にいれると全体として、A P R I C O T / 0 の方が速いといえる。尚、大規模な知識ベース・システムの開発で、開発完了までに何度も知識ベースの修正を繰り返すような場合、知識ベースから Rete-like ネットワークへのインクリメンタル・コンパイル法⁽¹¹⁾⁽¹⁴⁾もまた既に提案されている。

また、仮説推論システム A P R I C O T / 0 上に論理回路合成問題⁽¹⁵⁾に対する知識ベースをインプリメントし、本方式の推論速度に関する有効性を確認している。

尚、各知識を共有化できないような知識ベースに基づく仮説推論の高速化が課題として挙げられる。このとき、特に並列処理技術の適用を考えて行きたい。

謝 詞

本研究の機会を与えて下さり、常に御指導頂いている I C O T 清一博所長、古川康一次長、第五研究室生駒憲治室長に深く感謝致します。ならびに、御指導頂いた現 N T T 藤井裕一前室長に深く感謝致します。また、口頭討論して頂いている第五研究室各研究員の方々に感謝致します。

◇参考文献◇

- (1) 石塚満：不完全な知識の操作による次世代知識ベース・システムへのアプローチ，人工知能学会誌，Vol. 3, No. 5, pp. 22-32 (1988).
- (2) Inoue, K. : Problem Solving with Hypothetical Reasoning, Proc. of the International Conference on Fifth Generation Computer Systems, Vol. 3, pp. 1275-1281 (1988).
- (3) de Kleer, J. : An Assumption-based TMS, Artif. Intell., Vol. 28, pp. 127-162 (1986).
- (4) de Kleer, J. : Problem Solving with the ATMS, Artif. Intell., Vol. 28, pp. 197-224 (1986).
- (5) 飯島泰裕, 成田良一, 吉田裕之, 泉寛幸：仮説ネットワークを用いた仮説推論器, 人工知能学会研究会研究会資料SIG-FAI-8701-2, pp. 7-14 (1987).
- (6) 飛鳥井正道, 森沢秀一, 村田真人, 浅野俊昭：エキスパート

システム構築ツールCHORUS(2)－仮説推論機能－、情報処理学会第37回全国大会講演論文集、Vol. 2, pp. 1218-1219(1988).

(7)Forgy, C. L.: Rete: A Fast Algorithm for the Many Pattern / Many Object Pattern Match Problem, *Artif. Intell.*, Vol. 19, pp. 17-37(1982).

(8)Flann, N. S., Dietterich, T. G. and Corpron, D. R.: Forward Chaining Logic Programming with the ATMS, *Proc. of AAAI-87*, pp. 24-29(1988).

(9)Junker, U.: Reasoning in Multiple Contexts, Working Paper, No. 334, GMD(1988).

(10)Reiter, R.: A Logic for Default Reasoning, *Artif. Intell.*, Vol. 13, pp. 81-132(1980).

(11)井上克巳, 太田好彦: 仮説推論システムAPRICOT/

0による知識コンパイル, 人工知能学会研究会資料S I G - K B S
- 8805-6, pp. 51-60 (1989).

(12) Nakashima, H. and Nakajima,
K. : Hardware Architecture of
the Sequential Inference
Machine: PSI-III, Proc. of the
Symposium on Logic Programming,
pp. 104-113 (1987).

(13) Chikayama, T. : Unique
Features of ESP, Proc. of the
International Conference on
Fifth Generation Computer
Systems, pp. 292-298 (1984).

(14) 太田好彦, 井上克巳: ATMSによるRete-Like
ネットワークの逐次構築, 情報処理学会第38回全国大会講演論文
集, Vol. 1, pp. 420-421 (1989).

(15) Maruyama, F., Kakuda, T.,
Masunaga, Y., Minoda, Y., Sawada, S.
and Kawato, N. : co-LODEX: A
Cooperative Expert System for

Logic Design, Proc. of the
International Conference on
Fifth Generation Computer
Systems, Vol. 3, pp. 1299 -
1306 (1988).